

(19) Weltorganisation für geistiges Eigentum
Internationales Büro



(43) Internationales Veröffentlichungsdatum
8. April 2004 (08.04.2004)

PCT

(10) Internationale Veröffentlichungsnummer
WO 2004/030209 A1

(51) Internationale Patentklassifikation⁷: **H03H 7/32**,
H03G 9/18, H04B 1/64, H03H 7/12

(71) Anmelder (für alle Bestimmungsstaaten mit Ausnahme von
US): INFINEON TECHNOLOGIES AG [DE/DE]; St.-
Martin-Str. 53, 81669 München (DE).

(21) Internationales Aktenzeichen: PCT/DE2003/002956

(72) Erfinder; und

(22) Internationales Anmeldedatum:
5. September 2003 (05.09.2003)

(75) Erfinder/Anmelder (nur für US): HEMMERT, Werner
[DE/DE]; Kanalstr. 12, 85368 Moosburg (DE).

(25) Einreichungssprache: Deutsch

(74) Anwalt: VIERING, Hans-Martin; Viering, Jentschura &
Partner, Steinsdorfstr. 6, 80538 München (DE).

(26) Veröffentlichungssprache: Deutsch

(81) Bestimmungsstaaten (national): JP, US.

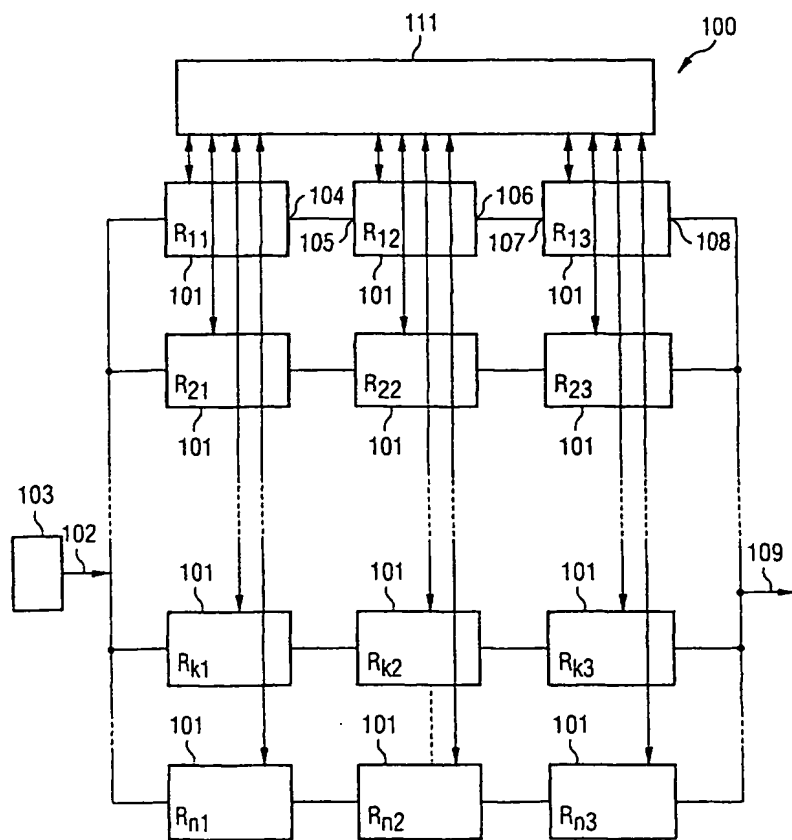
(30) Angaben zur Priorität:
102 43 869.2 20. September 2002 (20.09.2002) DE

(84) Bestimmungsstaaten (regional): europäisches Patent (AT,
BE, BG, CH, CY, CZ, DE, DK, EE, ES, FI, FR, GB, GR,
HU, IE, IT, LU, MC, NL, PT, RO, SE, SI, SK, TR).

[Fortsetzung auf der nächsten Seite]

(54) Title: CIRCUIT ARRANGEMENT AND SIGNAL PROCESSING DEVICE

(54) Bezeichnung: SCHALTKREIS-ANORDNUNG UND SIGNALVERARBEITUNGS-VORRICHTUNG



(57) Abstract: The invention relates to a circuit arrangement (100) and a signal processing device. The circuit arrangement comprises a resonator circuit (101) in order to generate an output signal from an input signal and also comprises a capacitor and an inductor, an input where the input signal can be inputted and an output where the output signal can be outputted. The circuit arrangement also comprises a control circuit (111) for controlling or regulating the quality of the resonator circuit. The control circuit is embodied in such a manner that it controls or regulates the quality of the resonator circuit according to the amplitude of the input signal and/or the output signal.

(57) Zusammenfassung: Die Erfindung betrifft eine Schaltung-Anordnung (100) und eine Signalverarbeitungs-Vorrichtung. Die Schaltung-Anordnung weist einen Resonator-Schaltkreis (101) zum Generieren eines Ausgabesignals aus einem Eingangssignal auf, mit einer Kapazität und mit einer Induktivität, mit einem Eingang, an dem das Eingangssignal bereitstellbar ist und mit einem Ausgang, an dem das Ausgabesignal bereitstellbar ist. Ferner enthält die Schaltung-Anordnung einen Steuer-Schaltkreis (111) zum Steuern oder Regeln der Güte des Resonator-Schaltkreises, wobei der Steuer-Schaltkreis

[Fortsetzung auf der nächsten Seite]



Veröffentlicht:

- mit internationalem Recherchenbericht
- vor Ablauf der für Änderungen der Ansprüche geltenden Frist; Veröffentlichung wird wiederholt, falls Änderungen eintreffen

Zur Erklärung der Zweibuchstaben-Codes und der anderen Abkürzungen wird auf die Erklärungen ("Guidance Notes on Codes and Abbreviations") am Anfang jeder regulären Ausgabe der PCT-Gazette verwiesen.

derart eingerichtet ist, dass er die Güte des Resonator-Schaltkreises abhängig von der Amplitude des Eingabesignals und/oder des Ausgabesignals steuert oder regelt.

Beschreibung**Schaltkreis-Anordnung und Signalverarbeitungs-Vorrichtung**

- 5 Die Erfindung betrifft eine Schaltkreis-Anordnung und eine Signalverarbeitungs-Vorrichtung.

Schallsignale weisen einen hohen Intensitätsbereich auf, das heißt eine hohe Dynamik von bis zu 120dB. Die Geräuschkulisse
10 einer ländlichen Gegend bei Nacht entspricht ungefähr 20dB, wohingegen ein Gewehrschuss in der Nähe des Entstehens einen Schallpegel von ungefähr 140dB aufweist.

Aufgrund von Adaptionsprozessen im menschlichen Innenohr, bei
15 denen die sogenannten äußeren Haarzellen eine wichtige Rolle spielen, erreicht das normale Gehör sowohl eine hohe Empfindlichkeit bei niedrigen Schallpegeln als auch eine hohe Toleranz bei hohen Schallpegeln. Der Schallpegel ist eine physikalische Größe, welche ein Maß ist für die Intensität
20 des Schalls. Das Gehör passt seine Verstärkung dem aktuellen Schallpegel an und ist daher in der Lage, einen großen Dynamikbereich an Schallpegeln zwischen als leise empfundenem Schall und als laut empfundenem Schall abzudecken. Anschaulich wird ein großer Schallpegelbereich auf einen
25 kleinen wahrnehmbaren Bereich zusammengedrückt. In diesem Zusammenhang spricht man von Dynamikkompression.

Bei der Kodierung von Sprache in Aktionspotentiale des Hörnerven wird der große Dynamikbereich der Schallsignale
30 (bis zu 120dB) auf den begrenzten dynamischen Bereich der Sinneszellen bzw. eines neuronalen Systems (etwa 40dB) komprimiert.

Spracherkennungs-Systeme, Hörgeräte und Audio-
35 Datenkomprimierung sind wirtschaftlich interessante Gebiete. Grundlagen der automatischen Spracherkennung sind beispielsweise [1] zu entnehmen.

In einem bekannten Spracherkennungs-System wird eine schnelle Fourier-Transformation ("Fast Fourier Transformation", FFT) zur spektralen Analyse von Schallsignalen verwendet.

- 5 Anschließend wird das erhaltene Amplitudenspektrum logarithmiert. Dies entspricht anschaulich einer Dynamikkompression mit logarithmischer Kennlinie.

- 10 Bei einer solchen schnellen Fourier-Transformation wird typischerweise ein Zeitfenster einer vorgegebenen Länge verwendet, was zu einer beschränkten Frequenz- und Zeitauflösung führt. Wird, wie in der Spracherkennung üblich, nur das Betragsspektrum verwendet, ist die Zeitauflösung durch die Länge des verwendeten Zeitfensters limitiert.
- 15 Problematisch bei der Verwendung eines Zeitfensters fest vorgegebener Größe ist, dass bei einer Veränderung des Spektrums nach der Rücktransformation ein Fehler erhalten wird, der auf der Endlichkeit des Zeitfensters beruht.

- 20 [3] offenbart eine Vorrichtung zum Verringern der scheinbaren Lautstärke eines Ausgabesignals in einem Rundfunksystem, die ein Frequenz-selektives Verstärkungsverringerungs-Netzwerk aufweist.
- 25 [4] offenbart eine Schaltungsanordnung zur Kompression des dynamischen Bereichs eines Eingangssignals.

- Der Erfindung liegt das Problem zugrunde, eine Schaltkreis-Anordnung und eine Signalverarbeitungs-Vorrichtung
- 30 bereitzustellen, mit denen eine verbesserte Dynamikkompression ermöglicht ist.

- Das Problem wird gelöst durch eine Schaltkreis-Anordnung und durch eine Signalverarbeitungs-Vorrichtung mit den Merkmalen
- 35 gemäß den unabhängigen Patentansprüchen.

Die Schaltkreis-Anordnung weist einen Resonator-Schaltkreis zum Generieren eines Ausgabesignals aus einem Eingangssignal auf. Der Resonator-Schaltkreis enthält eine Kapazität und ~~eine~~ Induktivität, einen Eingang, an dem das Eingangssignal bereitstellbar ist und einen Ausgang, an dem das Ausgabesignal bereitstellbar ist. Ferner weist die Schaltkreis-Anordnung einen Steuer-Schaltkreis zum Steuern oder Regeln der Güte des Resonator-Schaltkreises auf, wobei der Steuer-Schaltkreis derart eingerichtet ist, dass er die Güte des Resonator-Schaltkreises abhängig von der Amplitude, vorzugsweise abhängig von dem Signalverlauf der Signalamplitude, des Eingangssignals und/oder des Ausgabesignals steuert oder regelt.

Mit anderen Worten wird vorzugsweise die Güte abhängig von dem Signalverlauf der Signalamplitude gesteuert oder geregelt, was anschaulich den Vorteil mit sich bringt, dass die Zeitabhängigkeit des Eingangssignals und/oder des Ausgabesignals selbst auf die Zeitabhängigkeit der Güte abgebildet wird, so dass ein quasi-instantanes, verzögerungsfreies Steuern der Güte ermöglicht wird. Jedoch ist zu betonen, dass das Steuern der Güte abhängig von dem Signalverlauf der Signalamplitude optional ist, es ist auch möglich, die Güte abhängig von der Amplitude zu steuern oder zu regeln.

Darüber hinaus ist erfindungsgemäß eine Signalverarbeitungs-Vorrichtung mit einer Schaltkreis-Anordnung mit den oben genannten Merkmalen bereitgestellt. Ferner enthält die Signalverarbeitungs-Vorrichtung eine Weiterverarbeitungseinheit zum Weiterverarbeiten des Ausgabesignals.

Eine Grundidee der Erfindung ist darin zu sehen, dass die Güte des Resonator-Schaltkreises basierend auf der Amplitude des Eingabe- oder Ausgabesignals eingestellt wird. Weist eines dieser Signale eine sehr hohe Amplitude auf, so kann mittels des Steuer-Schaltkreises die Güte des Resonator-

Schaltkreises derart stark verringert werden, dass das Signal stark gedämpft wird. Dagegen kann bei einem Signal einer geringen Amplitude die Güte derart erhöht werden, dass ein nur sehr schwach gedämpftes Signal an dem Ausgang der
5 Schaltkreis-Anordnung bereitgestellt wird.

Anschaulich wird erfindungsgemäß zum Durchführen einer Dynamikkompression die Tatsache verwendet, dass ein Resonator-Schaltkreis nahe seiner Resonanzfrequenz als
10 ausreichend stabiler Verstärker wirkt (Resonanzüberhöhung).

Unter der Güte eines Resonator-Schaltkreises wird insbesondere das Verhältnis einer Amplitude eines Ausgabesignals bei oder nahe der Resonanzfrequenz des
15 Resonator-Schaltkreises zu der entsprechenden Amplitude bei einer von der Resonanzfrequenz stark unterschiedlichen Frequenz verstanden. Die Güte eines Resonator-Schaltkreises hängt von dessen ohmschen Widerstand ab, so dass die Güte beispielsweise mittels Steuern oder Regeln des ohmschen
20 Widerstands des Resonator-Schaltkreises einstellbar ist.

In einem Szenario, in dem die Güte des Resonator-Schaltkreises basierend auf der Amplitude des in den Resonator-Schaltkreis eingeführten Eingangssignals eingestellt
25 wird, kann die Funktionalität des Steuer-Schaltkreises als ein "Steuern" bezeichnet werden. Wird dagegen die Güte des Steuer-Schaltkreises basierend auf der Amplitude des Ausgabesignals eingestellt, so erfüllt der Steuer-Schaltkreis eine "Regelungs"-Funktionalität, da er ein rückgekoppeltes
30 Anpassen der Güte durchführt.

Mit der erfindungsgemäßen Schaltkreis-Anordnung ist eine sichere und effektive Dynamikkompression eines Eingangssignals im Zeitbereich ermöglicht, ohne dass die Nachteile einer
35 Fourier-Transformation auftreten. Insbesondere entfallen die bei einer Fourier-Transformation gemäß dem Stand der Technik auftretenden Probleme mit einem endlichen Zeitfenster.

Darüber hinaus wird erfindungsgemäß ein dynamik komprimiertes Ausgangssignal generiert, das z.B. im Vergleich zu der Rücktransformation des logarithmierten Fourierspektrums deutlich geringere störende Signalverzerrung aufweist.

5

Gemäß der Erfindung ist eine ausreichend starke und intensitätsselektive (z.B. nichtlineare) Dämpfung eines Eingangssignals mittels selektiven Verringerns der Güte des Resonator-Schaltkreises ermöglicht.

10

Anschaulich kann die Schaltkreis-Anordnung als Filter-Schaltkreis aufgefasst werden, wobei basierend auf dem Wert der Induktivität L und der Kapazität C des Resonator-Schaltkreises der Frequenzbereich festgelegt ist, für welchen der Resonator-Schaltkreis durchlässig ist. Somit ist mittels Einstellens der Werte L, C eine einfache Möglichkeit geschaffen, den Frequenz-Schwerpunkt des transmittierbaren Intervalls des Resonator-Schaltkreises einzustellen. Die Breite der Resonanzkurve des Resonator-Schaltkreises ist insbesondere mittels Einstellens seiner Güte justierbar. Der Resonator-Schaltkreis in seiner erfindungsgemäßen Verschaltung kann als Filter mit nichtlinearer Dämpfung angesehen werden, mit dem eine im Prinzip beliebig hohe Dynamikkompression erreicht werden kann. Aufgrund einer ausreichend schmalbandigen Verarbeitung können auch Verzerrungen, die durch eine zu starke Nichtlinearität entstehen können, ausreichend gering gehalten werden.

25

Die Schaltkreis-Anordnung als Filter kann einen Resonator-Schaltkreis zweiter Ordnung enthalten, wobei die Dämpfung nichtlinear mit steigendem Schallpegel ansteigt. Bei einer passiven Realisierung der Schaltkreis-Anordnung, das heißt bei einer Verwendung passiver Bauelemente (Spule L, Kondensator C, ohmscher Widerstand R) kann eine stabile Schaltung erhalten werden (im Gegensatz zu Systemen, die einen aktiven, rückgekoppelten Verstärker benötigen).

30

35

Anstelle einer schnellen Fourier-Transformation (FFT) wird erfindungsgemäß eine, beispielsweise analoger, Filterbank verwendet, anstelle einer Logarithmierung wird eine nichtlineare Dämpfung eines Eingangssignals basierend auf dem Schallpegel eines Signals durchgeführt.

Bevorzugte Weiterbildungen der Erfindung ergeben sich aus den abhängigen Ansprüchen.

- 10 Der Resonator-Schaltkreis kann einen mittels des Steuer-Schaltkreises steuerbaren (bzw. regelbaren) ohmschen Widerstand aufweisen. Ein solcher steuerbarer oder regelbarer ohmscher Widerstand ist eine einfache Schaltkreis-Komponente, mittels welcher die Funktionalität des Regelns der Güte des Resonator-Schaltkreises mit geringem Aufwand und genau und stabil erfüllt werden kann.

Das Eingangssignal kann zwischen einem ersten Anschluss des ohmschen Widerstands und einem ersten Anschluss der Kapazität bereitgestellt sein. Das Ausgangssignal kann zwischen dem ersten Anschluss der Kapazität und einem zweiten Anschluss der Kapazität bereitgestellt sein. Ein zweiter Anschluss des ohmschen Widerstands kann mit einem ersten Anschluss der Induktivität und ein zweiter Anschluss der Induktivität kann mit einem zweiten Anschluss der Kapazität gekoppelt sein.

- Der Steuer-Schaltkreis kann derart eingerichtet sein, dass er die Güte des Resonator-Schaltkreises basierend auf einer Boltzmann-Funktion steuert, in welcher die Amplitude des Ausgangssignals als Parameter enthalten ist. Eine Boltzmann-Funktion ist bei geeigneter Wahl der darin enthaltenen Parameter gut geeignet, die Empfindlichkeitskurve der äußeren Haarsinneszellen im menschlichen Innenohr anzunähern. Eine besonders gute Beschreibung dieser biologischen Abhängigkeit kann durch eine Boltzmann-Funktion zweiter Ordnung beschrieben werden. Dadurch ist es möglich, die Empfindlichkeitskurve im menschlichen Ohr anzunähern, was für

Anwendungen der Schaltkreis-Anordnung im medizinischen Bereich (beispielsweise für ein Hörgerät) vorteilhaft ist.

Der Steuer-Schaltkreis kann derart eingerichtet sein, dass er die Güte des Resonator-Schaltkreises in Abhängigkeit von der Amplitude des Ausgabesignals basierend auf einer für ein Ohr eines Menschen ermittelten Empfindlichkeitscharakteristik einstellt. Um die Empfindlichkeitscharakteristik im Innenohr eines Menschen besonders gut mittels einer erfindungsgemäßen Schaltkreis-Anordnung nachzubilden, kann eine beispielsweise experimentell oder theoretisch ermittelte Empfindlichkeitscharakteristik des menschlichen Ohrs in der Form einer Datei oder Tabelle für den Steuer-Schaltkreis zugänglich abgelegt sein. In diesem Fall kann der Steuer-Schaltkreis die Güte des Resonator-Schaltkreises derart steuern oder regeln, dass die darin abgelegte biologische Empfindlichkeitscharakteristik angenähert wird.

Der Steuer-Schaltkreis kann derart eingerichtet sein, dass er die Güte des Resonator-Schaltkreises umso geringer einstellt, je höher die Amplitude des Ausgabesignals ist.

Der Steuer-Schaltkreis kann ferner derart eingerichtet sein, dass er die Güte des Resonator-Schaltkreises in einer nichtlinearen Abhängigkeit von der Amplitude des Ausgabesignals einstellt. D.h., dass Signalbereiche großer Amplitude überproportional stark gegenüber Signalbereichen kleiner Amplitude gedämpft werden. Somit kann auch bei einem extrem hohen Bereich von Schallpegeln in einem Eingabesignal eine Komprimierung auf einen ausreichend schmalen Bereich bei dem Ausgabesignal erreicht werden.

Der Steuer-Schaltkreis kann derart eingerichtet sein, dass er die Güte des Resonator-Schaltkreises derart einstellt, dass die Amplitude des Ausgabesignals innerhalb eines vorbestimmten Intervalls ist. Für bestimmte Anwendungen kann es vorteilhaft sein, die Amplitude eines Ausgabesignals auf

jeden Fall innerhalb eines vorbestimmten Intervalls zu halten. Dies kann beispielsweise im Rahmen der Datenkomprimierung wichtig sein, wenn ein Signal mit einer hohen Intensitätsschwankung mit möglichst wenig

5 Quantisierungsstufen erfasst werden soll. In diesem Fall kann der Steuer-Schaltkreis derart eingerichtet sein, dass er die Güte des Resonator-Schaltkreises derart steuert oder regelt, dass das Ausgabesignal innerhalb des vorbestimmten Intervalls liegt.

10

Die Schaltkreis-Anordnung kann eine Mehrzahl von in Serie geschalteten Resonator-Schaltkreisen aufweisen, wobei ein Ausgabesignal eines jeweils vorgeschalteten Resonator-Schaltkreises den ihm jeweils nachgeschalteten Resonator-Schaltkreis als Eingabesignal bereitstellbar ist.

15

Gemäß dieser besonders vorteilhaften Ausgestaltung ist anschaulich eine Filterbank mit einer Hintereinander-Schaltung aus mehreren Resonator-Schaltkreisen geschaffen, wodurch die Dynamikkompression auf einen noch größeren Dynamikbereich ausgeweitet werden kann. Im Prinzip kann eine ausreichend starke Dynamikkompression (z.B. 60dB) bereits mit einer Filterstufe (d.h. mit einem Resonator-Schaltkreis) mit einer sehr hohen Güte Q (z.B. $Q=1000$, die bei hohen Pegeln auf eine Güte von $Q=1$ reduziert wird) erfolgen. Eine solche Schaltkreis-Anordnung ist allerdings sehr schmalbandig (beispielsweise 0.1% der Resonanzfrequenz des Resonator-Schaltkreises). Mittels Kaskadierens mehrerer Filter (z.B. drei hintereinander geschaltete Filter) mit einer relativ geringen Güte Q (z.B. $Q=10$, so dass $Q^3=1000$) lässt sich gemäß der Erfindung ebenfalls eine ausreichend starke Dynamikkompression (z.B. von 60dB) realisieren. Die nicht zu hohen Einzel-Güte von jedem dieser Filter bringt den vorteilhaften Effekt mit sich, dass aufgrund der aus der geringeren Güte resultierenden erhöhten Bandbreite der einzelnen Filter ein größerer Frequenzbereich der Filter abgedeckt wird und gleichzeitig das Impulsverhalten der

30
35

Filter verbessert wird, d.h. die Ein- und Ausschwingzeit des Systems ist wesentlich geringer.

Die hintereinander geschalteten Resonator-Schaltkreise können
5 anschaulich miteinander direkt verkoppelt sein derart, dass
die Ausgabespannung eines vorgeschalteten Resonator-
Schaltkreises gleich der Eingabespannung des ihm
nachgeschalteten Resonator-Schaltkreises ist und dass der (im
Betrieb in der Regel von Null verschiedene) Ausgabestrom
10 eines vorgeschalteten Resonator-Schaltkreises gleich dem
Eingabestrom des ihm nachgeschalteten Resonator-Schaltkreises
ist. Hierfür ist die Schaltkreis-Anordnung in der Regel von
einem Zwischenelement zwischen vor- und nachgeschaltetem
Resonator-Schaltkreisen frei. Dies ist mittels einer
15 Schaltkreis-Anordnung realisierbar, bei welcher der zweite
Anschluss der Spule eines vorgeschalteten Resonator-
Schaltkreises mit dem ersten Anschluss des ohmschen
Widerstands des dem vorgeschalteten Resonator-Schaltkreis
nachgeschalteten Resonator-Schaltkreises gekoppelt ist.

20 Alternativ können die hintereinander geschalteten Resonator-
Schaltkreise anschaulich von einer unmittelbaren Kopplung
frei sein, d.h. voneinander in gewisser Weise entkoppelt
sein, insbesondere unter Zwischenschalten eines
25 Zwischenelements zwischen Ausgabe eines vorgeschalteten und
Eingabe eines nachgeschalteten Resonator-Schaltkreises. Dies
ist vorzugsweise derart realisiert, dass die Ausgabespannung
eines vorgeschalteten Resonator-Schaltkreises gleich der
Eingabespannung des ihm nachgeschalteten Resonator-
30 Schaltkreises ist und dass der Ausgabestrom eines
vorgeschalteten Resonator-Schaltkreises gleich Null ist. Der
Eingabestrom des nachgeschalteten Resonator-Schaltkreises
ergibt sich im Wesentlichen nur aus der Impedanz des dieses
Resonator-Schaltkreises. Bei einer derartigen Schaltkreis-
35 Anordnung ist als Zwischenelement vorzugsweise ein
Operationsverstärker (als Impedanzwandler) zwischen einem
vorgeschalteten Resonator-Schaltkreis und dem ihm

nachgeschalteten Resonator-Schaltkreis vorgesehen. Ein erster Eingang des Operationsverstärkers ist mit dem zweiten Anschluss der Spule des vorgeschalteten Resonator-Schaltkreises gekoppelt. Ein zweiter Eingang des Operationsverstärkers ist mit einem Ausgang des Operationsverstärkers rückgekoppelt und ist mit dem ersten Anschluss des ohmschen Widerstands des dem vorgeschalteten Resonator-Schaltkreis nachgeschalteten Resonator-Schaltkreises gekoppelt.

10

Zur Reduktion der Rechenleistung kann die Güte aller in Serie geschalteter Resonator-Schaltkreise identisch eingestellt sein. In diesem Fall ist die von dem Steuer-Schaltkreis beanspruchte Rechenleistung besonders gering gehalten, da für alle Resonator-Schaltkreise eine gemeinsame Güte ermittelt und eingestellt wird, d.h. alle Filterparameter identisch sind. Wird eine Schaltkreis-Anordnung mit einer besonders hohen Qualitätsanforderung benötigt, so kann alternativ die Güte von unterschiedlichen in Serie geschalteten Resonator-Schaltkreisen zum Zwecke einer Optimierung unterschiedlich eingestellt werden. Bei einer solchen Schaltkreis-Anordnung ist somit die Güte von jedem der in Serie geschalteten Resonator-Schaltkreise individuell eingestellt.

Die Schaltkreis-Anordnung weist vorzugsweise eine Mehrzahl von parallel geschalteten Zweigen auf, wobei jeder Zweig einen Resonator-Schaltkreis oder mehrere in Serie geschaltete Resonator-Schaltkreise aufweist. In diesem Fall ist die Güte eines jeweiligen Resonator-Schaltkreises mittels des Steuer-Schaltkreises steuerbar bzw. regelbar.

Gemäß dieser besonders vorteilhaften Weiterbildung der Erfindung sind anschaulich mehrere parallel geschaltete Zweige von Resonator-Schaltkreisen vorgesehen, wobei in jedem Zweig eine Mehrzahl von Resonator-Schaltkreisen hintereinandergeschaltet sein kann.

Vorzugsweise ist der mindestens eine Resonator-Schaltkreis eines jeweiligen Zweigs derart eingerichtet, dass er für einen jeweiligen Frequenzbereich des Eingangssignals durchlässig ist derart, dass die Zweige gemeinsam für ein zusammenhängendes Frequenzintervall durchlässig sind. Der Frequenzbereich, für den das menschliche Gehör sensitiv ist, liegt ungefähr zwischen 20Hz und 20kHz. Um diesen Hörfrequenzbereich abzudecken, sind in der parallelen Anordnung von Resonator-Schaltkreisen in unterschiedlichen Kanälen die Frequenzbereiche transmittierbarer Signale in der Regel unterschiedlich. Der Frequenzbereich transmittierbarer Signale in einem Resonator-Schaltkreis ist eine Verteilungskurve um die Resonanzfrequenz herum mit einer gewissen Halbwertsbreite. Die Resonanzfrequenz ist anschaulich mittels Einstellens der Werte L, C des Resonator-Schaltkreises möglich, die Halbwertsbreite ist mittels Einstellens der jeweiligen Güte justierbar. Setzt man die unterschiedlichen Frequenz-Durchlassbereiche der unterschiedlichen Zweige von Resonator-Schaltkreisen zusammen, so ergibt sich ein vorzugsweise zusammenhängendes Frequenzintervall, mittels welchem der Sensitivitätsbereich des menschlichen Gehörs oder ein sonstiger Frequenzbereich von Interesse erfassbar ist.

Vorzugsweise sind die Frequenzbereiche, für die unterschiedliche Zweige durchlässig sind, zumindest teilweise einander überlappend. In diesem Fall ist sichergestellt, dass alle Frequenzen erfasst werden, und es ist ein Zusammensetzen der Signalkomponenten einzelner Zweige möglich.

Vorzugsweise ist der Frequenzbereich, für den ein jeweiliger Zweig durchlässig ist, mittels Einstellens des Werts der Kapazität und/oder der Induktivität des mindestens einen Resonator-Schaltkreises des Zweigs vorgebbar. Dies beruht darauf, dass die Resonanzfrequenz eines Resonator-Schaltkreises von den Werten der Induktivität und der Kapazität abhängt.

Vorzugsweise ist die Schaltkreis-Anordnung der Erfindung zum Verarbeiten eines akustischen Signals als Eingangssignal eingerichtet. In diesem Fall eignet sich die Schaltkreis-
5 Anordnung der Erfindung für einen Einsatz in einem Sprachverarbeitungs-System. Ein solches kann beispielsweise auf pulsenden neuronalen Netzwerken beruhen, welche auf eine Reduktion des Dynamikbereichs angewiesen sind. Weitere Anwendungsgebiete sind Systeme zur Schallverarbeitung und
10 (Audio-)Datenkomprimierung, wenn Signale mit hohen Amplituden mit möglichst wenig Quantisierungsstufen erfasst werden sollen. Darüber hinaus gibt es Anwendungen im medizinischen Bereich, insbesondere als Hörhilfe bei Patienten mit Lärm-Schwerhörigkeit.

15 Die erfindungsgemäße Schaltkreis-Anordnung kann in digitaler oder analoger Schaltungstechnik realisiert sein.

Zumindest ein Teil der Schaltkreis-Anordnung, insbesondere
20 die Filter, die Steuer- oder Regelungs-Funktionalität des Steuer-Schaltkreises, kann als Computerprogramm realisiert sein. Die Erfindung kann sowohl mittels eines Computerprogramms, d.h. einer Software, als auch mittels einer oder mehrerer spezieller elektrischer Schaltungen, d.h.
25 in Hardware oder in beliebig hybrider Form, d.h. mittels Software-Komponenten und Hardware-Komponenten, realisiert werden.

Eine Software-Realisierung insbesondere des Steuer-
30 Schaltkreises kann beispielsweise in "C++" erfolgen. Eine Realisierung kann auf einem beliebigen Prozessor oder DSP (digitaler Signalprozessor) erfolgen, ebenso auf einem FPGA-Baustein. Ein FPGA ("Field Programmable Gate Array") ist ein integrierter programmierbarer Schaltkreis, der in der Regel
35 eine Vielzahl programmierbarer Zellen auf einem Chip aufweist.

Im Weiteren wird die erfindungsgemäße Signalverarbeitungs-
Vorrichtung, die eine erfindungsgemäße Schaltkreis-Anordnung
aufweist, näher beschrieben. Ausgestaltungen der
Signalverarbeitungs-Vorrichtung gelten auch für die
5 Schaltkreis-Anordnung und umgekehrt.

Bei der Signalverarbeitungs-Vorrichtung kann die
Weiterverarbeitungs-Einheit eine Spracherkennungs-Einrichtung
oder ein Hörgerät sein.

10

Bei einer Realisierung der Weiterverarbeitungs-Einheit als
Hörgerät kommt insbesondere eine Anwendung in Frage, bei der
eine Dynamikkompression zum Ausgleich von Störungen der
Lautstärke-Wahrnehmung von Schwerhörigen durchgeführt wird.

15

Im gestörten Gehör können die äußeren Haarzellen in
Mitleidenschaft gezogen sein, wodurch die Erhöhung der
Empfindlichkeit bei niedrigen Schallpegeln ausfällt. Das
Gehör arbeitet dann anschaulich stets mit der für hohe
Schallpegel vorgesehenen Empfindlichkeit. Dieses führt dazu,

20

dass der nutzbare Bereich an Schallpegeln zwischen der
Hörschwelle (sehr leise) und der Unannehmlichkeits-Schwelle
(sehr laut) kleiner wird (Recruitment). Zum Ausgleich dieses
Phänomens kann mittels der erfindungsgemäßen Schaltkreis-
Anordnung der Signalverarbeitungs-Vorrichtung eine

25

Dynamikkompression durchgeführt werden, die den großen
Schallpegelbereich der akustischen Umwelt auf den
wahrzunehmenden Bereich des Patienten anschaulich
zusammendrückt.

30

Die Signalverarbeitungs-Vorrichtung kann auch den Eingang für
ein Spracherkennungssystem bilden, insbesondere in pulsender
neuronaler Netzwerk Architektur.

Die Signalverarbeitungs-Vorrichtung kann als analoge- oder
35 digitale Filterbank eingerichtet sein.

Ausführungsbeispiele der Erfindung sind in den Figuren dargestellt und werden im Weiteren näher erläutert.

Es zeigen:

5

Figur 1 eine Schaltkreis-Anordnung gemäß einem bevorzugten Ausführungsbeispiel der Erfindung,

Figur 2 einen Resonator-Schaltkreis gemäß einem
10 Ausführungsbeispiel der Erfindung,

Figur 3 eine Realisierung des in Figur 2 gezeigten Resonator-Schaltkreises als Wellendigitalfilter,

15 Figuren 4 und 5 Diagramme zum Veranschaulichen der Funktionalität der erfindungsgemäßen Schaltkreis-Anordnung,

Figur 6A eine Schaltkreis-Anordnung gemäß einem anderen
20 bevorzugten Ausführungsbeispiel der Erfindung,

Figur 6B eine Realisierung der in Figur 6A gezeigten Resonator-Schaltkreise als Wellendigitalfilter,

25 Figur 7A eine Schaltkreis-Anordnung gemäß einem weiteren bevorzugten Ausführungsbeispiel der Erfindung,

Figur 7B eine Realisierung der in Figur 7A gezeigten Resonator-Schaltkreise als Wellendigitalfilter.
30

Gleiche oder ähnliche Komponente in unterschiedlichen Figuren sind mit gleichen Bezugsziffern versehen.

Im Weiteren wird bezugnehmend auf **Fig.1** eine Schaltkreis-
35 Anordnung 100 gemäß einem bevorzugten Ausführungsbeispiel der Erfindung beschrieben.

Die Schaltkreis-Anordnung 100 enthält eine Vielzahl von Resonator-Schaltkreisen 101, von denen jeder eine Kapazität und eine Induktivität aufweist (nicht gezeigt in Fig.1), sowie einen Eingang, an dem ein Eingangssignal bereitstellbar ist und einen Ausgang, an dem ein Ausgangssignal bereitstellbar ist. Jeweils drei der Resonator-Schaltkreise 101 sind entlang einer jeweiligen Zeile der matrixförmigen Anordnung hintereinander geschaltet, so dass ein jeweiliger Ausgang eines vorgeschalteten Resonator-Schaltkreises 101 mit einem jeweiligen Eingang eines ihm nachgeschalteten Resonator-Schaltkreises 101 gekoppelt ist. Die Werte der Induktivität und der Kapazität der Resonator-Schaltkreise 101 einer Zeile sind jeweils derart gewählt, dass die jeweilige Zeile ein Signal eines entsprechenden Frequenzintervalls in einem Umgebungsbereich der Resonanzfrequenz der Resonator-Schaltkreise 101 der Zeile transmittieren kann. Die Resonator-Schaltkreise 101 unterschiedlicher Zeilen weisen jeweils unterschiedliche Werte für L, C auf, sodass zusammengenommen die einzelnen Zeilen oder Zweige von Resonator-Schaltkreisen 101 ein zusammenhängendes Frequenz-Intervall abdecken, welches dem Empfindlichkeitsbereich des menschlichen Gehörs entspricht (ungefähr 20Hz bis 20kHz).

Ein Steuer-Schaltkreis 111 steht mit allen Resonator-Schaltkreisen 101 in einer Kommunikationsverbindung, d.h. der Steuer-Schaltkreis 111 ist mit allen Resonator-Schaltkreisen gekoppelt. Die Güte von jedem einzelnen der Resonator-Schaltkreise 101 ist mittels des Steuer-Schaltkreises 111 zum Steuern oder Regeln der Güte der Resonator-Schaltkreise 101 einstellbar, wobei der Steuer-Schaltkreis 111 derart eingerichtet ist, dass er die Güte der Resonator-Schaltkreise 101 abhängig von der Amplitude eines Ausgangssignals des letzten Resonator-Schaltkreises 101 einer jeweiligen Zeile einstellt. Beispielsweise wird die Güte der Resonator-Schaltkreise R_{11} , R_{12} , R_{13} mittels des Steuer-Schaltkreises 111 basierend auf der Amplitude eines Signals am Ausgang des Resonator-Schaltkreises R_{13} eingestellt.

In Fig.1 ist ferner eine Schallquelle 103 gezeigt, welche ein akustisches Signal als globales Eingabesignal 102 emittiert. Dieses wird den Eingängen der Resonator-Schaltkreise 101

5 $(R_{11}, R_{21}, \dots, R_{k1}, \dots, R_{n1})$ der ersten Spalte von Resonator-Schaltkreisen 101 bereitgestellt.

Im Weiteren wird der in der ersten Zeile und der ersten Spalte von Resonator-Schaltkreisen angeordnete Resonator-Schaltkreis 101 R_{11} betrachtet. Diesem wird an einem Eingang das globale Eingabesignal 102 der Schallquelle 103 bereitgestellt. Der Resonator-Schaltkreis 101 R_{11} lässt eine von den ihm zugeordneten Werten L und C abhängige Frequenzkomponente des globalen Eingabesignals 102 hindurch,

10 welche an einem Ausgang des Resonator-Schaltkreises R_{11} als erstes lokales Ausgabesignal 104 bereitgestellt ist. Ferner wird aufgrund der Funktionalität des Resonator-Schaltkreises 101 R_{11} abhängig von seiner (gegenwärtigen) Güte Q das globale Eingabesignal 102 in seiner Amplitude verändert. Die Güte Q des Resonator-Schaltkreises 101 R_{11} wird mittels eines ohmschen Widerstands (nicht gezeigt in Fig.1) des Resonator-Schaltkreises 101 R_{11} geregelt, wobei der Steuer-Schaltkreis 111 diesem regelbaren ohmschen Widerstand ein entsprechendes Steuersignal bereitstellt, wodurch der Widerstand auf einen vorbestimmten Wert eingestellt wird. Dadurch wird die Güte des Resonator-Schaltkreises 101 eingestellt, so dass in einem nachfolgenden Verarbeitungs-Zyklus gemäß diesem Wert der Güte ein Eingabesignal stärker oder schwächer gedämpft wird. Da die Schaltkreis-Anordnung 100 zur Dynamikkompression des globalen Eingabesignals 102 eingerichtet ist, werden

15 20 25 30

anschaulich Signalbereiche hoher Amplitude stärker geschwächt als Signalbereiche geringer Amplitude.

Das erste lokale Ausgabesignal 104 wird dem dem Resonator-Schaltkreis 101 R_{11} nachgeschalteten Resonator-Schaltkreis 101 R_{12} als erstes lokales Eingabesignal 105 bereitgestellt. Das erste lokale Eingabesignal 105 durchläuft den Resonator-

35

Schaltkreis 101 R_{12} , wobei an einem Ausgang das zweite lokale Ausgabesignal 106 bereitgestellt wird. Das zweite lokale Ausgabesignal 106 dient als zweites lokales Eingangssignal 107 des dem Resonator-Schaltkreis 101 R_{12} nachgeschalteten

5 Resonator-Schaltkreises 101 R_{13} . An dessen Ausgang 108 ist ein drittes lokales Ausgabesignal 108 bereitgestellt. Dieses wird gemeinsam mit den jeweils auf ein separates Frequenzintervall bezogenen Ausgabesignalen der jeweils letzten in einer Zeile angeordneten Resonator-Schaltkreisen
10 101 (R_{13} , R_{23} , ..., R_{k3} , ..., R_{n3}) zu einem globalen Ausgabesignal 109 zusammengesetzt (addiert).

Bei jedem der Resonator-Schaltkreise 101 einer jeweiligen Zeile von Resonator-Schaltkreisen (R_{k1} , R_{k2} , R_{k3}) wird die Güte
15 aller Resonator-Schaltkreise 101 der Zeile basierend auf der Amplitude des Ausgabesignals an dem Ausgang des jeweils letzten Resonator-Schaltkreises (in der k-ten Zeile Resonator-Schaltkreis R_{k3}) mittels des Steuer-Schaltkreises 111 geregelt.

20

Das zusammengesetzte globale Ausgabesignal 109 ist somit gegenüber dem globalen Eingangssignal 102 einer Dynamikkompression unterzogen.

25 Im Weiteren wird bezugnehmend auf Fig.2 der Resonator-Schaltkreis 101 aus Fig.1 beschrieben.

In Fig.2 ist ein Eingangssignal 200 als Spannungsquelle U symbolisiert. Ferner ist ein Ausgabesignal 204 als Spannung
30 U_c symbolisiert. Das Eingangssignal 200 ist zwischen einem ersten Anschluss eines ohmschen Widerstands 203 und einem ersten Anschluss einer Kapazität 201 bereitgestellt. Das Ausgabesignal 204 ist zwischen dem ersten Anschluss der Kapazität 201 und einem zweiten Anschluss der Kapazität 201
35 bereitgestellt. Ferner ist ein zweiter Anschluss des regelbaren ohmschen Widerstands 203 mit einem ersten Anschluss einer Induktivität 202 gekoppelt, und ein zweiter

Anschluss der Induktivität 202 ist mit dem zweiten Anschluss der Kapazität 201 gekoppelt.

Der Wert des ohmschen Widerstands R 203 ist mittels des Steuer-Schaltkreises 111 einstellbar. Der Resonator-Schaltkreis 101 aus Fig.2 stellt somit anschaulich einen Filter mit regelbarer Dämpfung dar.

Bei der erfindungsgemäßen Schaltkreis-Anordnung 100 sind in jeder Zeile drei (oder allgemein N) Resonator-Schaltkreise 101 als Filterelemente rückkopplungsfrei hintereinander geschaltet. Das zeitabhängige Ausgabesignal $U_c(t)$, wobei t die Zeit ist, eines vorgeschalteten Filters definiert jeweils das Eingangssignal U 200 des dem vorgeschalteten Filter nachgeschalteten Filters.

Der Widerstand R 203 kann in nichtlinearer Abhängigkeit von der Ausgangsspannung $U_c(t)$ verändert werden (Regelung), in Abhängigkeit von $U_c(t)$ des jeweils vorangeschalteten Filters (Steuerung), oder auch in für alle Filter gleichzeitig in Abhängigkeit von $U_c(t)$ der letzten Filterstufe einer Reihe.

Im Weiteren wird beschrieben, auf Basis welcher Rechenvorschrift gemäß dem beschriebenen Ausführungsbeispiel der Wert R eines jeweiligen ohmschen Widerstands R 203 eingestellt wird.

Hierfür wird zunächst eine einzustellende Güte Q berechnet.

Gemäß dem beschriebenen Ausführungsbeispiel wird die Güte Q des Filters gemäß einer Boltzmann-Funktion gedämpft:

$$Q(t) = (Q_0 - Q_{\min}) \left(1 - \left[\frac{2}{1 + \exp\{-SAT | U_c(t) | \}} - 1 \right] \right) + Q_{\min} \quad (1)$$

In Gleichung (1) ist $Q(t)$ die Abhängigkeit der Güte Q von der Zeit t. Q_0 ist eine vorgebbare Maximalgüte des Resonator-

Schaltkreises 101 (z.B. $Q_0=10$). Q_{\min} ist eine vorgebbare minimale Güte des Resonator-Schaltkreises (z.B. $Q_{\min}=1$). SAT ist eine vorgebbare Sättigungsschwelle, das heißt ein Parameter, mit dem anschaulich die Zeitabhängigkeit der Güte eingestellt werden kann (z.B. SAT=1).

Die Boltzmann-Funktion (1) nähert die Empfindlichkeitskurve der äußeren Haarsinneszellen im Innenohr an. Die Funktion kann bei Bedarf durch eine Boltzmann-Funktion zweiter Ordnung ersetzt werden, die unter Einführung eines weiteren Parameters eine noch genauere Anpassung ermöglicht. In Gleichung (1) ist eine einfache Boltzmann-Funktion erster Ordnung verwendet, da sie nur einen freien Parameter (nämlich SAT) aufweist und somit mit geringem numerischen Aufwand verarbeitet werden kann.

Aus der Güte Q des Filters berechnet sich der einzustellende Wert des nichtlinearen Widerstands R zu:

$$R(t) = \sqrt{L/C} Q(t) \quad (2)$$

Somit hängt der zeitabhängige Wert des ohmschen Widerstands $R(t)$ von dem Wert der Induktivität L und der Kapazität C sowie der zeitabhängigen Güte $Q(t)$ ab.

Anschaulich bilden Gleichungen (1) und (2) die Regelungsvorschrift für das Einstellen des Werts R des ohmschen Widerstands 203 mittels des Steuer-Schaltkreises 111.

Der von dem in Fig.2 gezeigten Resonator-Schaltkreis 101 gebildete Filter ist bei sehr geringen Amplituden $U_c(t)$ linear (mit $Q \rightarrow Q_0$ für $U_c(t) \rightarrow 0$). Ebenso ist er bei sehr großen Amplituden $U_c(t)$ näherungsweise linear ($Q \rightarrow Q_{\min}$ für $U_c(t) \rightarrow \infty$).

Die Dynamikkompression K erfolgt im Bereich der Sättigungsschwelle (SAT) und beträgt $K=Q_0/Q_{\min}$. Im Falle von $N=4$ hintereinander geschalteten Filterstufen (in Fig.1 sind

allerdings nur drei Filterstufen mittels dreier Resonator-Schaltkreise in einer Zeile vorgesehen) und den Werten $Q_0=10$ und $Q_{\min}=1$ ist eine starke Kompression um 80dB ($K_N=(Q_0/Q_{\min})^N$) realisierbar.

5

Um den gesamten Hörbereich des Menschen abzudecken, wird eine Filterbank mit Resonanzfrequenzen im Bereich von ungefähr 20Hz bis ungefähr 20kHz realisiert, was durch typischerweise fünfzig bis hundert Zeilen von Resonator-Schaltkreisen 101 (d.h. $n=50$ bis $n=100$) realisiert wird. Gemäß dem beschriebenen Ausführungsbeispiel wird der Wert der Induktivität auf $L=1H$ festgelegt. Der jeweilige Wert C wird dann für jede Zeile von Resonator-Schaltkreisen 101 gemäß der von dieser Zeile abgedeckten Filterfrequenz f_0 aus der Resonanzfrequenz des entsprechenden LC-Glieds berechnet:

10

15

$$C=(4\pi^2f^2L)^{-1} \quad (3)$$

Es ist anzumerken, dass die nichtlineare Güte Q für jede Filterfrequenz f_0 , d.h. für jede Zeile von Resonator-Schaltkreisen 101, unabhängig berechnet wird. Bezugnehmend auf Fig.1 bedeutet dies, dass jeder Zeile von Oszillator-Schaltkreisen 101 eine entsprechende Filterfrequenz f_0 zugeordnet ist, für welche der Wert der Güte $Q(t)$ berechnet wird.

20

25

Im Weiteren wird bezugnehmend auf Fig.3 ein Wellendigitalfilter 300 als Realisierung der in Fig.2 gezeigten Resonatorstufe 101 beschrieben.

30

Ein Wellendigitalfilter stellt eine Klasse von Digitalfiltern mit besonders günstigen Eigenschaften dar. Sie sind traditionellen Filtern aus den klassischen Bauelementen der Nachrichtentechnik nachgebildet und werden mit Hilfe moderner integrierter Digitalschaltungen betrieben. Gemäß der Technologie eines Wellendigitalfilters kann anschaulich ein

35

analoges Modell digital realisiert werden (beispielsweise unter Verwendung eines Computers).

Im Weiteren werden anschaulich die Komponenten des

5 Wellendigitalfilters 300 aus Fig.3 den Komponenten des Resonator-Schaltkreises 101 aus Fig.2 anschaulich zugeordnet und die entsprechenden Größen definiert.

Ein erster Block 301 des Wellendigitalfilters 300 enthält
10 einen reflexionsfreien seriellen Koppler mit den Impedanzen R11 und R13. Anschaulich repräsentiert R11 den regelbaren ohmschen Widerstand R 203, bezogen auf einen Referenzwiderstand. R12 repräsentiert einen korrigierten Widerstand (Impedanz) der Spule L 202 bezogen auf eine
15 Basisfrequenz. Ein zweiter Block 302 enthält einen parallelen Koppler, der die parallele Verschaltung der Kapazität 201 wiedergibt, wobei in dem zweiten Block die Leitwerte G21, G22, G23 dargestellt sind. G21 ist ein Eingangs-Leitwert des zweiten Blocks (G12=1/R13) 302, G23 ist ein Ausgangs-Leitwert
20 des zweiten Blocks 302. Mittels des Leitwerts G22 wird der Widerstand der Kapazität C 201 modelliert. Ein dritter Block 303 repräsentiert einen Speicher bzw. ein Filterregister für die Kapazität 201 und ein vierter Block 304 repräsentiert einen Speicher bzw. ein Filterregister für die Spule 202.

25 Im Weiteren werden die in Fig.3 gezeigten Variablen definiert. Es ergeben sich die Widerstände und Leitwerte für jede Filterfrequenz zu:

30
$$R11=R/R_B \quad (4)$$

$$R12=2\pi F_B L/(R_B \tan[\pi F_B/f_s]) \quad (5)$$

$$R13=R11+R12 \quad (6)$$

35

$$G21=R13^{-1} \quad (7)$$

22

$$G22=2\pi F_B C R_B/\tan(\pi F_B/f_s) \quad (8)$$

$$G23=G21+G22 \quad (9)$$

5 Hierbei ist R der ohmsche Widerstand 203 und R_B ein vorgegebbarer Bezugswiderstand. F_B ist eine vorgebbare Bezugsfrequenz. Die Werte R_B und F_B dienen zum Skalieren. Da die Realisation gemäß dem beschriebenen Ausführungsbeispiel mit Double Precision Float-Variablen
10 realisiert ist, ist diese Normierung nicht relevant, wohl aber, wenn Integer-Arithmetik verwendet wird. L ist die Induktivität der Spule 202. Der Wert f_s ist eine Sampling-Frequenz des abgetasteten Zeitsignals. Die Größen R11, R12, R13 sind ohmsche Widerstände, wohingegen die Größen G21, G22
15 und G23 Leitwerte, das heißt inverse ohmsche Widerstände sind.

Filter-Koeffizienten g1, g2 ergeben sich zu:

$$20 \quad g1=R11/R13 \quad (10)$$

$$g2=G21/G23 \quad (11)$$

Die Anfangswerte der Filterregister Z1 (vierter Block 304)
25 und Z2 (dritter Block 303) werden zu Null initialisiert.

Die Signale an den einzelnen Ports lassen sich sukzessive berechnen. Für die "Vorwärtswelle" des Signals, das heißt anschaulich die Koeffizienten an den gemäß Fig.3 nach rechts
30 orientierten Pfeile, ergibt sich:

$$b13=-(U+Z1) \quad (12)$$

$$b20=-g2(Z2-b13) \quad (13)$$

35

$$b23=b20+Z2 \quad (14)$$

23

Die Größe U in Gleichung (12) ist das Eingangssignal 200.

Für die "Rückwärtswelle", das heißt anschaulich die gemäß Fig.3 nach links orientierten Pfeile, ergeben sich die Koeffizienten:

$$b_{22}=b_{20}+b_{23} \quad (15)$$

$$b_{21}=b_{22}+Z_2-b_{13} \quad (16)$$

$$a_0=b_{21}-b_{13} \quad (17)$$

$$b_{11}=U-g_1 a_0 \quad (18)$$

$$b_{12}=-(b_{11}+b_{21}) \quad (19)$$

Das Ausgabesignal U_c 204 berechnet sich dann zu:

$$U_c=(b_{22}+Z_2[\text{sec}])/2 \quad (20)$$

Die Filterregister (Blöcke 303, 304) werden wie folgt aktualisiert:

$$Z_1=-b_{12} \quad (21)$$

$$Z_2=b_{22} \quad (22)$$

Das Ausgabesignal U_c 204 wird als Eingangssignal U 200 an die der betrachteten Filterstufe 101 nachgeschaltete Filterstufe 101 übergeben. Basierend auf dem Ausgabesignal U_c 204 der letzten Filterstufe 101 einer Zeile von Filterstufen 101 wird die einzustellende Güte der hintereinander geschalteten Filter 101 gemäß Gleichung (1) neu ermittelt. Aus dem so ermittelten Wert für die Güte Q wird der Wert des die Dämpfung bestimmenden Widerstands R gemäß Gleichung (2) berechnet. Mit dem veränderten Wert des ohmschen Widerstands R 203 werden die Filterwiderstände (R_{11} , R_{12} , R_{13} , G_{21} , G_{22} ,

G23) und Filterkoeffizienten (g_1 , g_2) gemäß Gleichungen (4) bis (11) neu berechnet. Nach diesem Schritt wird das Ausgabesignal für eine nächste Zeitscheibe berechnet. Mit anderen Worten kann das Zeitspektrum in mehrere Zeitscheiben
5 zergliedert werden, die sukzessive numerisch berechnet werden.

Im Weiteren wird bezugnehmend auf **Fig.4** ein Diagramm 400 erläutert, in dem die Funktionalität der erfindungsgemäßen
10 Schaltkreis-Anordnung gemäß einem bevorzugten Ausführungsbeispiel der Erfindung gezeigt ist. Diagramm 400 bezieht sich auf eine Schaltkreis-Anordnung mit $N=4$ hintereinander geschalteten Resonator-Schaltkreisen. Als maximaler Q -Wert ist $Q_0=10$ angenommen, als minimaler Q -Wert
15 ist $Q_{\min}=1$ angenommen.

Entlang einer Abszisse 401 des Diagramms 400 ist in einer logarithmischen Darstellung die auf eine Referenzfrequenz f_0 normierte Frequenz eines Signals aufgetragen. Entlang einer
20 Ordinate 402 ist in einer logarithmischen Darstellung die Reaktion des Systems auf ein Eingangssignal einer bestimmten Intensität gezeigt. Erste bis achte Kurven 403 bis 410 stellen die Frequenzgang (d.h. hier den jeweiligen Wert der Maximalamplitude des Filterausgangs) der erfindungsgemäßen
25 Schaltkreis-Anordnung für unterschiedliche Signal-Amplituden (bezogen auf eine Referenzamplitude) dar. Die erste Kurve 403 entspricht einer Amplitude von 1×10^{-9} , die zweite Kurve 404 entspricht einer Amplitude von 1×10^{-4} , die dritte Kurve 405 entspricht einer Amplitude von 1×10^{-3} , die vierte Kurve 406
30 entspricht einer Amplitude von 1×10^{-2} , die fünfte Kurve 407 entspricht einer Amplitude von 1×10^{-1} , die sechste Kurve 408 entspricht einer Amplitude von 1×10^0 , die siebte Kurve 409 entspricht einer Amplitude von 1×10^1 und die achte Kurve 410 entspricht einer Amplitude von 1×10^6 . Ferner ist als
35 Eingangssignal eine Sinusschwingung angenommen, die mit einem \cos^2 -Fenster gefenstert ist. Kurven 403 bis 410 ergeben sich

für eine gesamte Filterbank aus $N=4$ rückkopplungsfrei hintereinander geschalteten Resonator-Schaltkreisen.

Zunächst ist aus dem Diagramm 400 ersichtlich, dass die
5 Dämpfung des Eingangssignals umso stärker ist, je höher die
Signalintensität bzw. Signalamplitude ist. Bei sehr kleinen
Amplituden sind die Filter linear und die Resonanzüberhöhung
beträgt ungefähr 80dB. Die Antwort der Filterbank nimmt zu
10 hohen tiefen Frequenzen sehr steil ab, da die Filter als
Tiefpass realisiert sind (vgl. Fig. 2). Die hochfrequente
Antwort der Filter fällt mit ungefähr 6dB pro Oktave ab,
bedingt durch die Skalierung der Filterparameter mit f_0 . Die
Kurven in Fig.4 bilden die stark asymmetrische Frequenz-
Selektivität des menschlichen Gehörs in guter Näherung nach.

15

Im Weiteren wird beziehend auf Fig.5 die Beziehung
zwischen Amplituden des Eingangssignals und des Ausgangssignals
einer erfindungsgemäßen Schaltkreis-Anordnung beschrieben.

20 In dem Diagramm 500 ist entlang einer Abszisse in
logarithmischer Darstellung ein Schalldruckpegel A_{in} in dB
aufgetragen, bezogen auf einen Schalldruck der Bezugsgröße
20µPa. Entlang einer Ordinate 502 ist in willkürlichen
Einheiten die Stärke eines Ausgangssignals A_{out} in dB
25 aufgetragen. Kurven 503 bis 507 zeigen für unterschiedliche
Szenarien die Wachstumsfunktion einer Filterkaskade aus vier
Resonator-Schaltkreisen (Hintereinanderschaltung von $N=4$
Filtern) bei der Resonanzfrequenz f_0 . Als minimale Güte ist
 $Q_{min}=1$ angenommen.

30

Eine erste Kurve 503 zeigt eine lineare Wachstumsfunktion.
Eine zweite Kurve 504 zeigt eine Wachstumsfunktion des
Innenohrs, d.h. die Geschwindigkeit der Basilarmembran
bezogen auf den Schalldruck gemessen vor dem Trommelfell. Die
35 Daten der zweiten Kurve 504 sind aus [2] entnommen. Eine
dritte Kurve 505 zeigt den Kurvenverlauf für eine Güte $Q=2$,

eine vierte Kurve 506 zeigt den Verlauf für $Q=4$ und eine fünfte Kurve 507 zeigt den Verlauf für $Q=10$.

5 Anschaulich ist in Fig.5 somit die Wachstumsfunktion eines Filterausgangs für $f=f_0$ mit der Filtergüte Q als Parameter gezeigt. Bei sehr großen und sehr kleinen Amplituden sind die Wachstumsfunktionen näherungsweise linear. Auffällig ist der große Kompressionsbereich (insbesondere bei großem Q), der sich über mehr als vier Dekaden erstreckt. Der große
10 Dynamikbereich des Eingabesignals (100dB) wird auf 40dB (für $Q=10$) komprimiert. Aufgrund der Resonanzüberhöhung werden leise Signale frequenzspezifisch "verstärkt". Die Wachstumsfunktion bildet am lebenden Hörsystem gemessene Schwingungsantworten sehr gut nach (vgl. mit Kurve 504).
15 Daher ist mit der erfindungsgemäßen Schaltkreis-Anordnung eine näherungsweise technische Nachbildung der nichtlinearen Vorverarbeitung im Innenohr realisiert.

Im Weiteren wird bezugnehmend auf **Fig.6A** eine Schaltkreis-
20 Anordnung 600 gemäß einem anderen bevorzugten Ausführungsbeispiel der Erfindung beschrieben.

Die Schaltkreis-Anordnung 600 ist gebildet aus einem ersten Resonator-Schaltkreis 601 und einem zweiten Resonator-
25 Schaltkreis 602, von denen jeder aufgebaut ist wie der in Fig.2 gezeigte Resonator-Schaltkreis 101. Der zweite Resonator-Schaltkreis 602 ist dem ersten Resonator-Schaltkreis 601 nachgeschaltet.

30 Anschaulich kann die Schaltkreis-Anordnung 600 als direkt gekoppelte Realisierung von zwei ($N=2$) hintereinander geschalteten Resonator-Schaltkreisen 601, 602 angesehen werden.

35 Wie in Fig. 6A gezeigt ist der zweite Anschluss der Spule 202 des vorgeschalteten Resonator-Schaltkreises 601 mit dem ersten Anschluss des ohmschen Widerstandes 203 des

nachgeschalteten zweiten Resonator-Schaltkreises 602 gekoppelt.

Gemäß dem in Fig. 6A gezeigten Ausführungsbeispiel

5 miteinander unmittelbar verkoppelter Resonator-Schaltkreise 601, 602 ist die Ausgabespannung U_{C1} des vorgeschalteten Resonator-Schaltkreises 601 gleich der Eingabespannung des folgenden Resonator-Schaltkreises 602. Ferner ist der
10 Ausgabestrom des ersten Resonator-Schaltkreises 601 gleich dem Eingabestrom des zweiten Resonator-Schaltkreises 602.

) Es ist anzumerken, dass die Werte der Widerstände $R1$ bzw. $R2$, der Induktivitäten $L1$ bzw. $L2$ sowie der Kapazitäten $C1$ bzw. $C2$ der Resonator-Schaltkreise 601, 602 voneinander
15 unterschiedlich sein können bzw. unterschiedlich eingestellt/geregelt werden können.

Im Weiteren wird bezugnehmend auf **Fig.6B** eine Realisierung der in Fig.6A gezeigten Resonator-Schaltkreise 601, 602 als
20 Wellendigitalfilter 650 beschrieben.

Anschaulich ist das Wellendigitalfilter 650 gebildet aus einer ersten Komponente 651, welche den ersten Resonator-Schaltkreis 601 repräsentiert, und aus einer zweiten
) 25 Komponente 652, welche den zweiten Resonator-Schaltkreis 602 repräsentiert. Entsprechend der verkoppelten Konfiguration der Resonator-Schaltkreise 601, 602 gemäß Fig.6A sind die beiden Komponenten 651, 652 in der Fig.6B gezeigten Weise direkt miteinander gekoppelt. Der interne Aufbau jeder der
30 Komponenten 651, 652 entspricht im Wesentlichen jener des Wellendigitalfilters 300 aus Fig.3.

Im Weiteren wird bezugnehmend auf **Fig.7A** eine Schaltkreis-Anordnung 700 gemäß noch einem anderen Ausführungsbeispiel
35 der Erfindung beschrieben.

Die Schaltkreis-Anordnung 700 ist gebildet aus einem ersten Resonator-Schaltkreis 701 und einem zweiten Resonator-Schaltkreis 702, welche in Serie geschaltet sind. Anschaulich sind die Resonator-Schaltkreise 701, 702 in einer voneinander entkoppelten Konfiguration hintereinander geschaltet, d.h., dass zwischen die Resonator-Schaltkreise 701 und 702 ein Zwischenelement geschaltet ist.

Jeder der Resonator-Schaltkreise 701, 702 ist im Wesentlichen aufgebaut wie der in Fig.2 gezeigte Resonator-Schaltkreis 101. Ferner ist zwischen dem ersten Resonator-Schaltkreis 701 und dem zweiten Resonator-Schaltkreis 702 ein Operationsverstärker 703 vorgesehen, wobei ein nichtinvertierender Eingang 703a des Operationsverstärkers 703 mit dem zweiten Anschluss der Spule 202 des vorgeschalteten ersten Resonator-Schaltkreises 701 gekoppelt ist. Ferner ist ein invertierender Eingang 703b des Operationsverstärkers 703 mit dessen Ausgang 703c rückgekoppelt und mit dem ersten Anschluss des ohmschen Widerstands 203 des dem ersten Resonator-Schaltkreis 701 nachgeschalteten zweiten Resonator-Schaltkreises 702 gekoppelt.

Gemäß dieser Konfiguration ist die Ausgabespannung des vorgeschalteten Resonator-Schaltkreises 701 U_{C1} 204 gleich der Eingabespannung des dem ersten Resonator-Schaltkreis 701 nachgeschalteten zweiten Resonator-Schaltkreises 702. Der Ausgabestrom eines jeweiligen Resonator-Schaltkreises ist Null. Der Eingabestrom des dem vorgeschalteten ersten Resonator-Schaltkreis 701 nachgeschalteten zweiten Resonator-Schaltkreises 702 beruht lediglich auf der Impedanz des nachgeschalteten zweiten Resonator-Schaltkreises 702. Wie in Fig.7A gezeigt, ist in Analogtechnik eine Realisation dieser Umstände mittels eines Impedanzwandlers realisierbar, der die Ausgabespannung des vorgeschalteten Resonator-Schaltkreises 701 dem Eingang des nachgeschalteten Resonator-Schaltkreises 702 einprägt.

Im Weiteren wird bezugnehmend auf Fig.7B ein Wellendigitalfilter 750 als Realisierung der Schaltkreis-Anordnung 700 aus Fig.7A beschrieben.

5

Das Wellendigitalfilter 750 ist in eine erste Komponente 751 und in eine zweite Komponente 752 aufgeteilt, wobei die erste Komponente 751 den ersten Resonator-Schaltkreis 701 repräsentiert, und wobei die zweite Komponente 752 den

10 zweiten Resonator-Schaltkreis 702 repräsentiert. Aufgrund der Funktionalität des Operationsverstärkers 703 sind die beiden

) Komponenten 751, 752 voneinander anschaulich gekoppelt. Der interne Aufbau jeder der Komponenten 751, 752 entspricht im Wesentlichen der in Fig.3 gezeigten Konfiguration. Das

15 Eingabesignal der ersten Komponente 751 ist U , das Eingabesignal der zweiten Komponente 752 ist U_{c1} .

In diesem Dokument sind folgende Veröffentlichungen zitiert:

[1] Schukat-Talamazzini, EG (1995) "Automatische
Spracherkennung", Friedrich Vieweg & Sohn
5 Verlagsgesellschaft, Braunschweig/Wiesbaden, ISBN 3-
528-05492-1, Kapitel 1 bis 3

[2] Ruggero, MA et al. (2000) "Mechanical bases of frequency
tuning and neural excitation at the base of the
10 cochlea: comparison of basilar-membrane vibrations
and auditory nerve-fiber responses in chinchilla",
Proc.Natl.Acad. Sci. USA 97(22):11744-11750

[3] US 3,808,540
15

[4] DE 24 01 816 C2

Bezugszeichenliste

- 100 Schaltkreis-Anordnung
- 101 Resonator-Schaltkreise
- 102 globales Eingabesignal
- 103 (Schall-)Signalquelle
- 104 erstes lokales Ausgabesignal
- 105 erstes lokales Eingabesignal
- 106 zweites lokales Ausgabesignal
- 107 zweites lokales Eingabesignal
- 108 drittes lokales Ausgabesignal
- 109 globales Ausgabesignal
- 111 Steuer-Schaltkreis
- 200 Eingabesignal
- 201 Kapazität
- 202 Induktivität
- 203 regelbarer ohmscher Widerstand
- 204 Ausgabesignal
- 300 Wellendigitalfilter
- 301 erster Block (serieller Koppler)
- 302 zweiter Block (paralleler Koppler)
- 303 dritter Block (Speicherelement für Kapazität)
- 304 vierter Block (Speicherelement für Induktivität)
- 400 Diagramm
- 401 Abszisse
- 402 Ordinate
- 403 erste Kurve
- 404 zweite Kurve
- 405 dritte Kurve
- 406 vierte Kurve
- 407 fünfte Kurve
- 408 sechste Kurve
- 409 siebte Kurve
- 410 achte Kurve
- 500 Diagramm

501 Abszisse
502 Ordinate
503 erste Kurve
504 zweite Kurve
505 dritte Kurve
506 vierte Kurve
507 fünfte Kurve
600 Schaltkreis-Anordnung
601 erster Resonator-Schaltkreis
602 zweiter Resonator-Schaltkreis
650 Wellendigitalfilter
651 erste Komponente
652 zweite Komponente
700 Schaltkreis-Anordnung
701 erster Resonator-Schaltkreis
702 zweiter Resonator-Schaltkreis
703 Operationsverstärker
703a nichtinvertierender Eingang

703b invertierender Eingang
703c Ausgang
750 Wellendigitalfilter
751 erste Komponente
752 zweite Komponente

Patentansprüche:

1. Schaltkreis-Anordnung,
die aufweist:

- 5 • einen Resonator-Schaltkreis zum Generieren eines
Ausgabesignals aus einem Eingangssignal
 - o mit einer Kapazität und mit einer Induktivität,
 - o mit einem Eingang, an dem das Eingangssignal
bereitstellbar ist;
 - 10 o mit einem Ausgang, an dem das Ausgabesignal
bereitstellbar ist;
 - einen Steuer-Schaltkreis zum Steuern oder Regeln der
Güte des Resonator-Schaltkreises, wobei der Steuer-
Schaltkreis derart eingerichtet ist, dass er die Güte
15 des Resonator-Schaltkreises abhängig von dem
Signalverlauf der Signalamplitude des Eingangssignals
und/oder des Ausgabesignals steuert oder regelt.
2. Schaltkreis-Anordnung nach Anspruch 1,
20 bei welcher der Resonator-Schaltkreis einen mittels des
Steuer-Schaltkreises steuerbaren ohmschen Widerstand aufweist.
3. Schaltkreis-Anordnung nach Anspruch 2,
bei der
- 25 • das Eingangssignal zwischen einem ersten Anschluss des
ohmschen Widerstands und einem ersten Anschluss der
Kapazität bereitstellbar ist;
 - das Ausgabesignal zwischen dem ersten Anschluss der
Kapazität und einem zweiten Anschluss der Kapazität
30 bereitstellbar ist;
 - ein zweiter Anschluss des ohmschen Widerstands mit einem
ersten Anschluss der Induktivität und ein zweiter
Anschluss der Induktivität mit dem zweiten Anschluss der
Kapazität gekoppelt ist.

35

4. Schaltkreis-Anordnung nach einem der Ansprüche 1 bis 3,
bei welcher der Steuer-Schaltkreis derart eingerichtet ist,

dass er die Güte des Resonator-Schaltkreises basierend auf einer Boltzmann-Funktion und/oder deren Ableitung steuert, wobei die Boltzmann-Funktion die Amplitude des Ausgabesignals als Parameter enthält.

5

5. Schaltkreis-Anordnung nach einem der Ansprüche 1 bis 4, bei welcher der Steuer-Schaltkreis derart eingerichtet ist, dass er die Güte des Resonator-Schaltkreises in Abhängigkeit von der Amplitude des Ausgabesignals basierend auf einer für ein Ohr eines Menschen ermittelten Empfindlichkeitscharakteristik einstellt.

10

6. Schaltkreis-Anordnung nach einem der Ansprüche 1 bis 5, bei welcher der Steuer-Schaltkreis derart eingerichtet ist, dass er die Güte des Resonator-Schaltkreises umso geringer einstellt, je höher die Amplitude des Ausgabesignals ist.

15

7. Schaltkreis-Anordnung nach Anspruch 6, bei welcher der Steuer-Schaltkreis derart eingerichtet ist, dass er die Güte des Resonator-Schaltkreises in einer nichtlinearen Abhängigkeit von der Amplitude des Ausgabesignals einstellt.

20

8. Schaltkreis-Anordnung nach einem der Ansprüche 1 bis 7, bei welcher der Steuer-Schaltkreis derart eingerichtet ist, dass er die Güte des Resonator-Schaltkreises derart einstellt, dass die Amplitude des Ausgabesignals innerhalb eines vorbestimmten Intervalls ist.

25

9. Schaltkreis-Anordnung nach einem der Ansprüche 1 bis 8, mit einer Mehrzahl von in Serie geschalteten Resonator-Schaltkreisen, wobei ein Ausgabesignal eines jeweils vorgeschalteten Resonator-Schaltkreises dem ihm jeweils nachgeschalteten Resonator-Schaltkreis als Eingabesignal bereitstellbar ist.

30

35

10. Schaltkreis-Anordnung nach Anspruch 9,

bei welcher der zweite Anschluss der Spule eines vorgeschalteten Resonator-Schaltkreises mit dem ersten Anschluss des ohmschen Widerstands des dem vorgeschalteten Resonator-Schaltkreis nachgeschalteten Resonator-Schaltkreises gekoppelt ist.

11. Schaltkreis-Anordnung nach Anspruch 9, mit einem Operationsverstärker zwischen einem vorgeschalteten Resonator-Schaltkreis und dem ihm nachgeschalteten Resonator-Schaltkreis, wobei

- ein erster Eingang des Operationsverstärkers mit dem zweiten Anschluss der Spule des vorgeschalteten Resonator-Schaltkreises gekoppelt ist;
- ein zweiter Eingang des Operationsverstärkers mit dessen Ausgang rückgekoppelt ist und mit dem ersten Anschluss des ohmschen Widerstands des dem vorgeschalteten Resonator-Schaltkreis nachgeschalteten Resonator-Schaltkreises gekoppelt ist.

12. Schaltkreis-Anordnung nach einem der Ansprüche 9 bis 11, bei welcher die Güte aller in Serie geschalteter Resonator-Schaltkreise identisch eingestellt ist.

13. Schaltkreis-Anordnung nach einem der Ansprüche 9 bis 11, bei welcher die Güte jeder der in Serie geschalteten Resonator-Schaltkreise individuell eingestellt ist.

14. Schaltkreis-Anordnung nach einem der Ansprüche 1 bis 13, mit einer Mehrzahl von parallel geschalteten Zweigen, von denen jeder einen Resonator-Schaltkreis oder mehrere in Serie geschaltete Resonator-Schaltkreise aufweist, wobei die Güte eines jeweiligen Resonator-Schaltkreises mittels des Steuer-Schaltkreises steuerbar ist.

15. Schaltkreis-Anordnung nach Anspruch 14, bei welcher der mindestens eine Resonator-Schaltkreis eines jeweiligen Zweigs derart eingerichtet ist, dass er für einen

jeweiligen Frequenzbereich des Eingangesignals durchlässig ist derart, dass die Zweige gemeinsam für ein zusammenhängendes Frequenzintervall durchlässig sind.

5 16. Schaltkreis-Anordnung nach Anspruch 15,
bei der die Frequenzbereiche, für die unterschiedliche Zweige durchlässig sind, zumindest teilweise einander überlappen.

10 17. Schaltkreis-Anordnung nach Anspruch 15 oder 16,
bei welcher der Frequenzbereich, für den ein jeweiliger Zweig durchlässig ist, mittels Einstellens des Werts der Kapazität und/oder der Induktivität des mindestens einen Resonator-Schaltkreises des Zweigs vorgebbar ist.

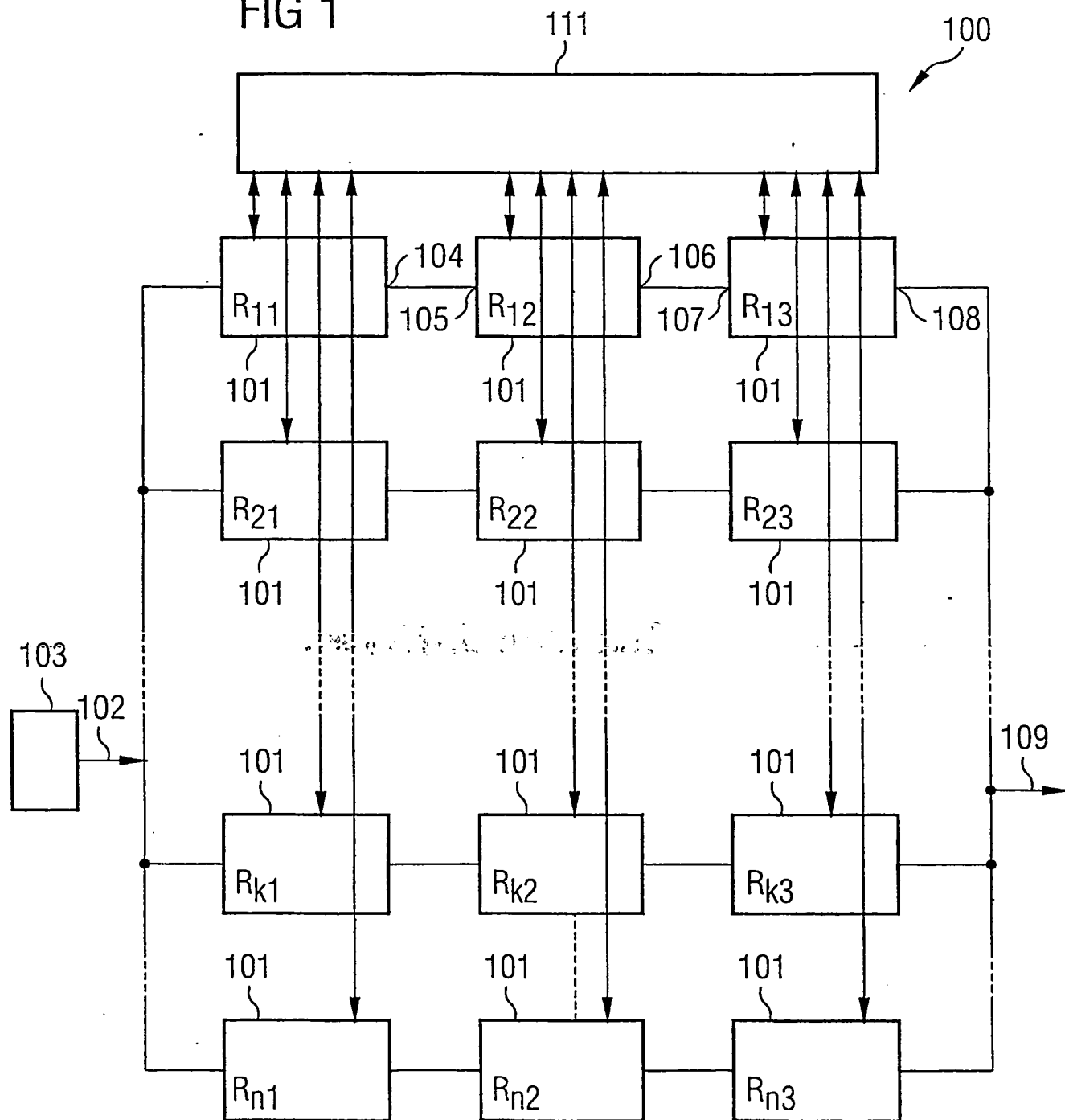
15 18. Schaltkreis-Anordnung nach einem der Ansprüche 1 bis 17,
die zum Verarbeiten eines akustischen Signals als Eingangesignal eingerichtet ist.

20 19. Signalverarbeitungs-Vorrichtung
• mit einer Schaltkreis-Anordnung nach einem der Ansprüche 1 bis 18;
• mit einer Weiterverarbeitungs-Einheit zum Weiterverarbeiten des Ausgangesignals.

25 20. Signalverarbeitungs-Vorrichtung nach Anspruch 19,
bei der die Weiterverarbeitungs-Einheit
• eine Spracherkennungs-Einrichtung; oder
• ein Hörgerät;
ist.

30 21. Signalverarbeitungs-Vorrichtung nach Anspruch 16 oder 17,
eingerrichtet als analoge- oder digitale Filterbank.

FIG 1



THIS PAGE BLANK (USPTO)

FIG 2

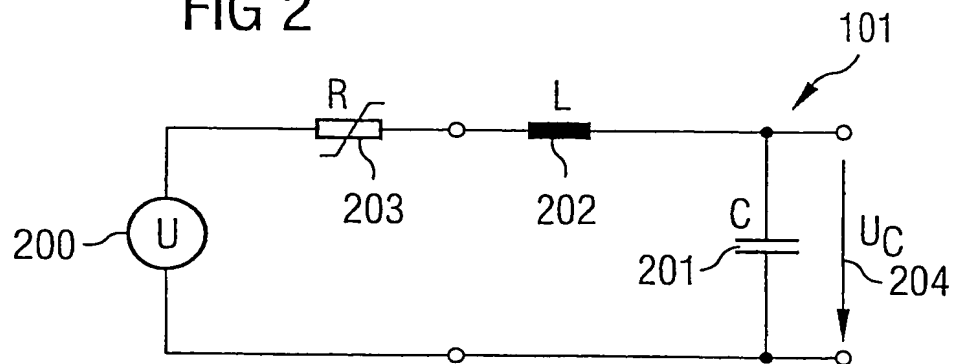
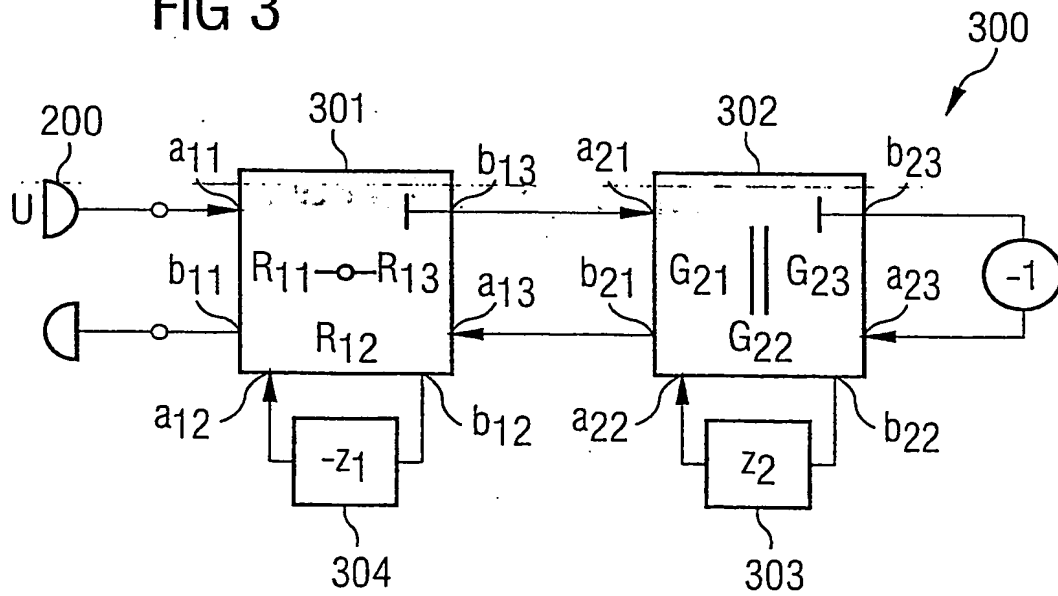


FIG 3



THIS PAGE BLANK (USPTO)

FIG 4

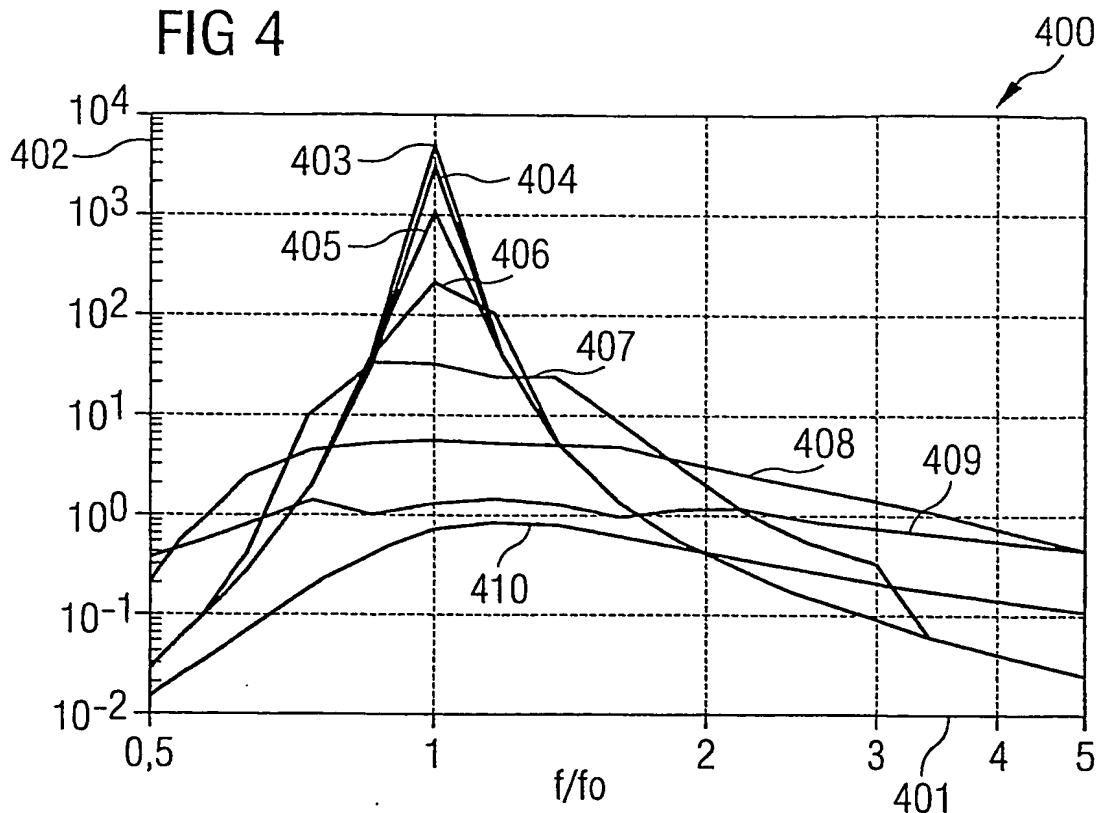
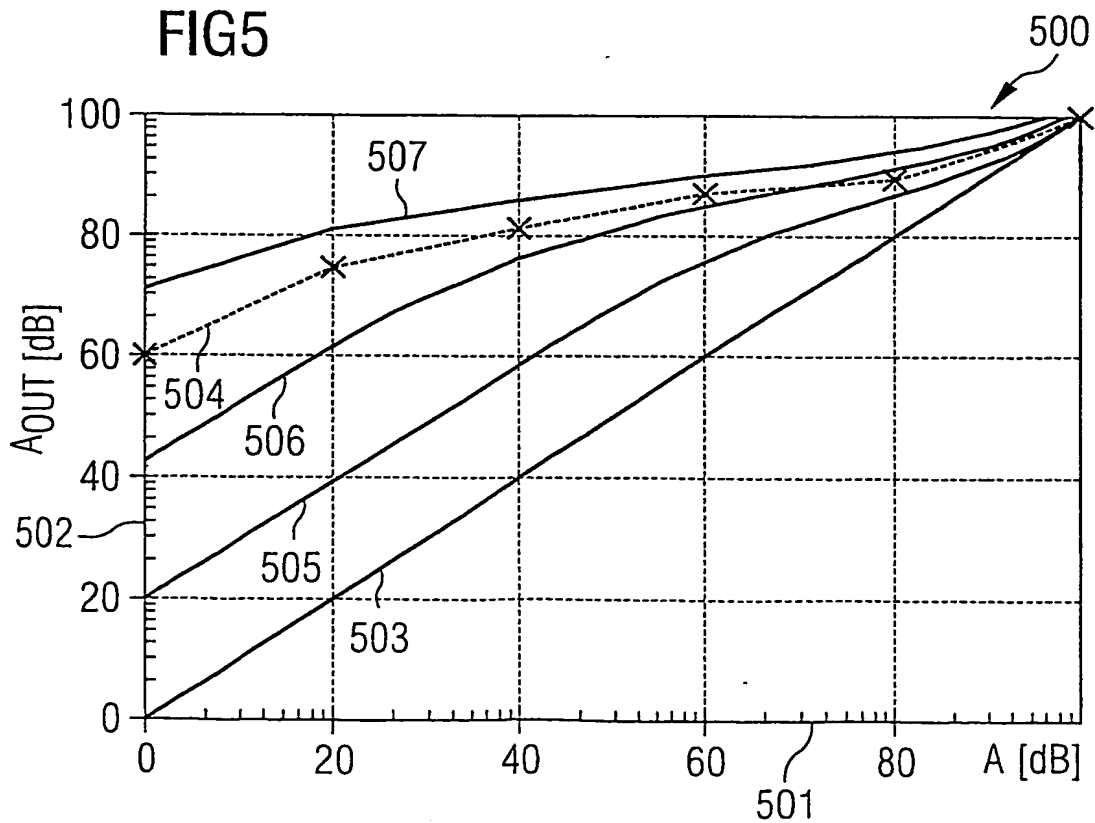


FIG5



THIS PAGE BLANK (USPTO)

FIG 6A

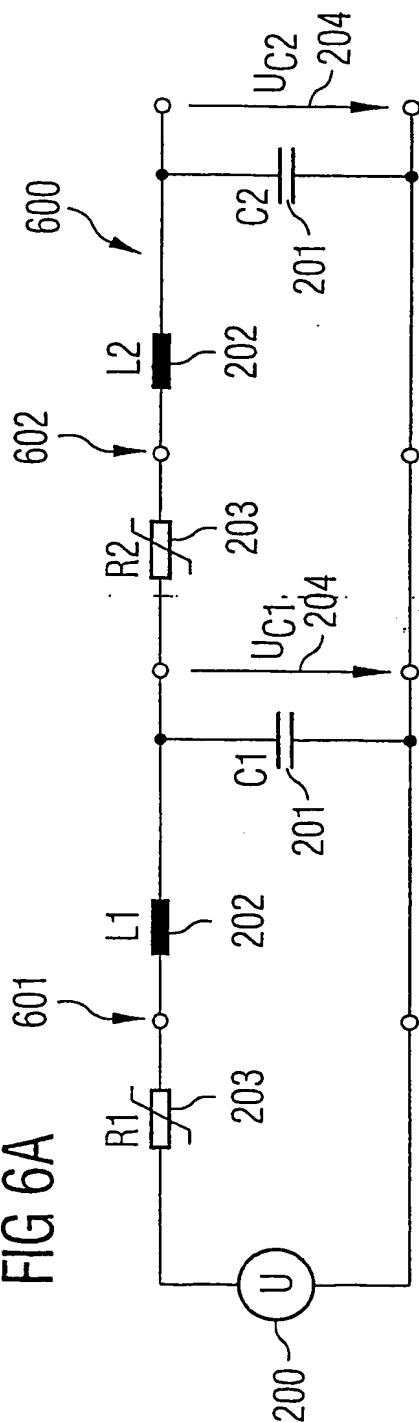
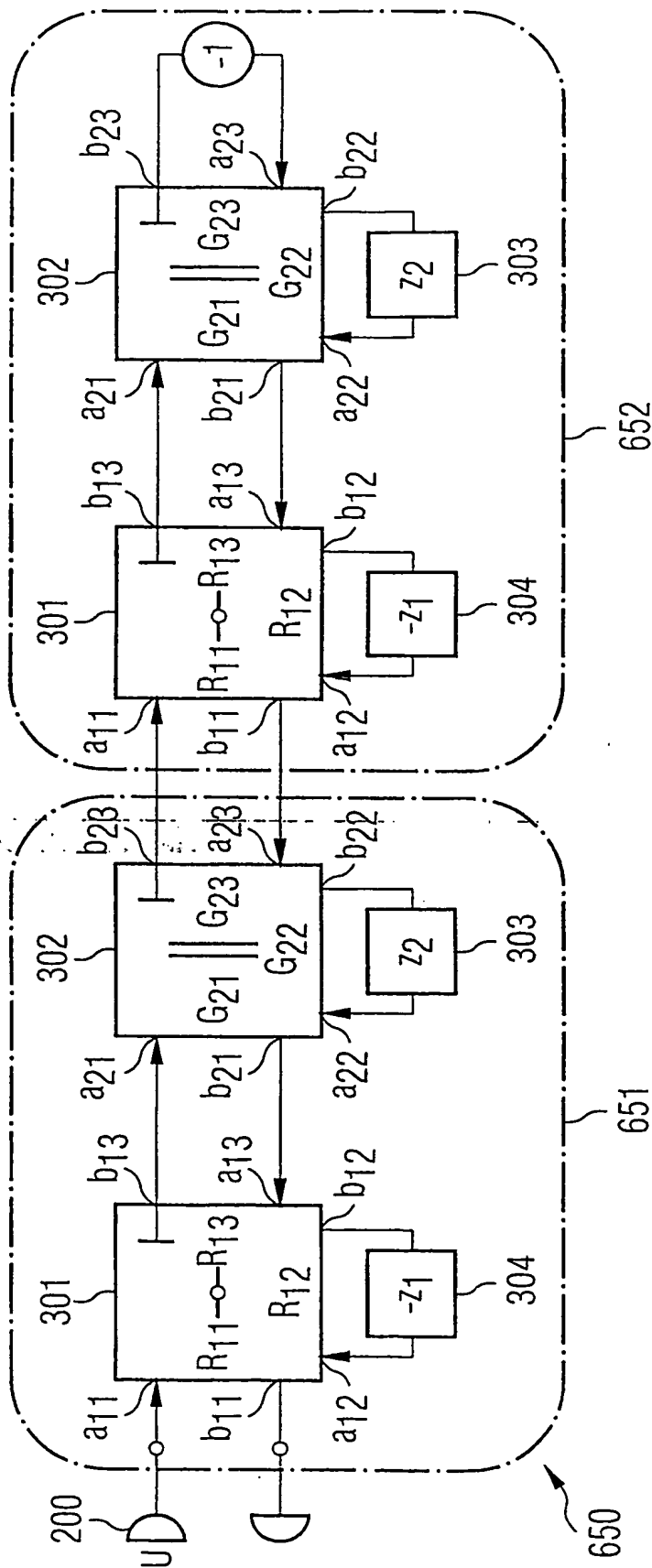


FIG 6B



THIS PAGE BLANK (USPTO)

FIG 7A

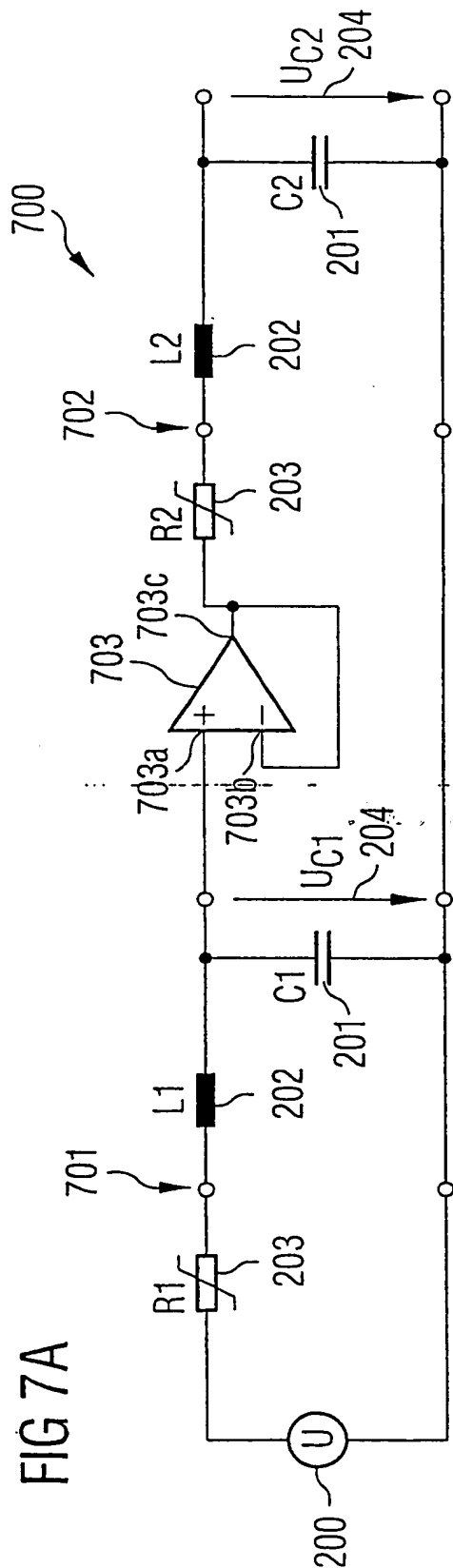
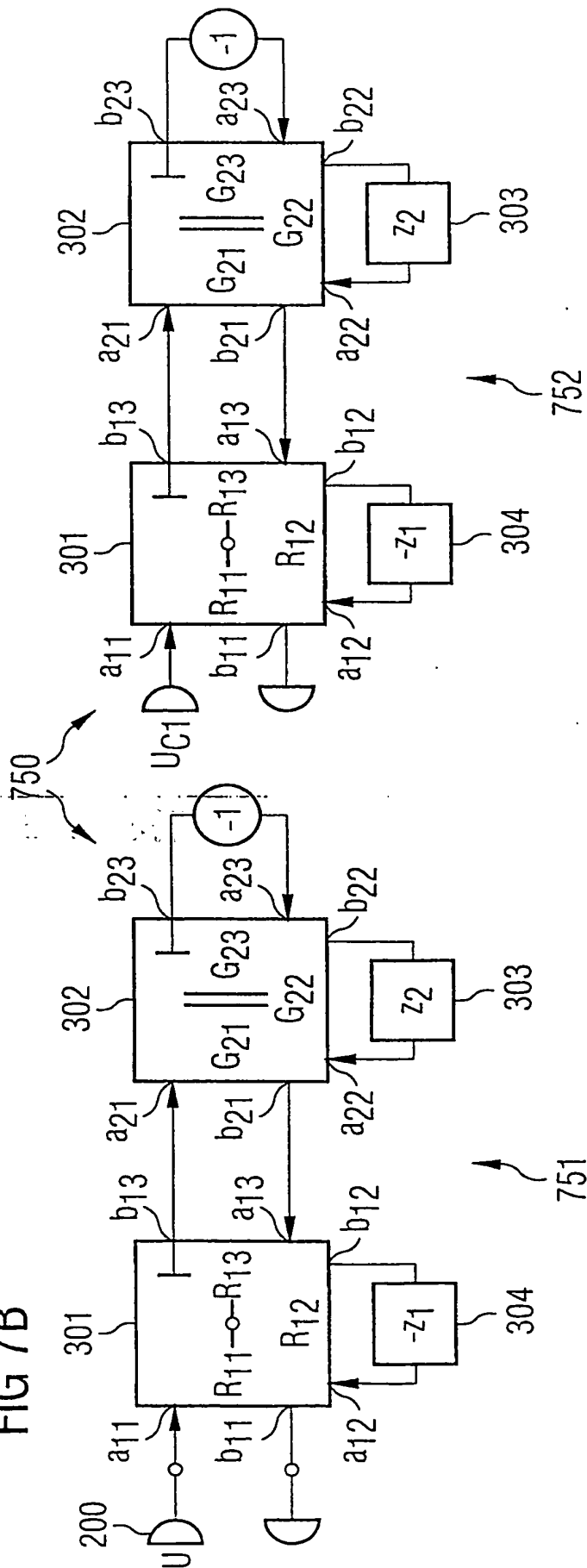


FIG 7B



THIS PAGE BLANK (USPTO)

INTERNATIONAL SEARCH REPORT

 Internat
 Application No
 PCT/EP 03/02956

 A. CLASSIFICATION OF SUBJECT MATTER
 IPC 7 H03H7/32 H03G9/18 H04B1/64 H03H7/12

According to International Patent Classification (IPC) or to both national classification and IPC

B. FIELDS SEARCHED

 Minimum documentation searched (classification system followed by classification symbols)
 IPC 7 H03H H03G H04B

Documentation searched other than minimum documentation to the extent that such documents are included in the fields searched

Electronic data base consulted during the international search (name of data base and, where practical, search terms used)

EPO-Internal, WPI Data, PAJ

C. DOCUMENTS CONSIDERED TO BE RELEVANT

Category *	Citation of document, with indication, where appropriate, of the relevant passages	Relevant to claim No.
X	US 5 325 184 A (CHOI SUNG-KYU) 28 June 1994 (1994-06-28) figures 3A-F, 4A, 4B, 5 column 2, line 65 - column 3, line 2 column 4, line 7-39	1-3
X	US 3 808 540 A (KABRICK W) 30 April 1974 (1974-04-30) cited in the application figures 1-3 column 3, line 30, 40-54, 59-61	1, 2
A	US 2 606 969 A (SCOTT HERMON H) 12 August 1952 (1952-08-12) figures 12, 14 column 10, line 19-21 column 10, line 75 - column 11, line 22 column 25, line 49-66	1-21

-/-

☒ Further documents are listed in the continuation of box C.

☒ Patent family members are listed in annex.

* Special categories of cited documents:

- *A* document defining the general state of the art which is not considered to be of particular relevance
- *E* earlier document but published on or after the International filing date
- *L* document which may throw doubts on priority claim(s) or which is cited to establish the publication date of another citation or other special reason (as specified)
- *O* document referring to an oral disclosure, use, exhibition or other means
- *P* document published prior to the International filing date but later than the priority date claimed

T later document published after the International filing date or priority date and not in conflict with the application but cited to understand the principle or theory underlying the invention

X document of particular relevance; the claimed invention cannot be considered novel or cannot be considered to involve an inventive step when the document is taken alone

Y document of particular relevance; the claimed invention cannot be considered to involve an inventive step when the document is combined with one or more other such documents, such combination being obvious to a person skilled in the art.

& document member of the same patent family

Date of the actual completion of the International search

16 January 2004

Date of mailing of the international search report

27/01/2004

 Name and mailing address of the ISA
 European Patent Office, P.B. 5818 Patentlaan 2
 NL - 2280 HV Rijswijk
 Tel. (+31-70) 340-2040, Tx. 31 651 epo nl,
 Fax: (+31-70) 340-3016

Authorized officer

Plathner, B-D

THIS PAGE BLANK (USPTO)

INTERNATIONAL SEARCH REPORT

Internatl Application No

PCT/EE 03/02956

C.(Continuation) DOCUMENTS CONSIDERED TO BE RELEVANT

Category *	Citation of document, with indication, where appropriate, of the relevant passages	Relevant to claim No.
A	US 3 903 485 A (DOLBY RAY MILTON) 2 September 1975 (1975-09-02) figures 16-18,22,23 ----	1-21
A	US 5 276 739 A (RAMSTAD TOR A ET AL) 4 January 1994 (1994-01-04) abstract; figure 1B -----	1-21

THIS PAGE BLANK (USPTO)

INTERNATIONAL SEARCH REPORT

on patent family members

Internal: Application No
PCT/JP 03/02956

Patent document cited in search report		Publication date	Patent family member(s)	Publication date
US 5325184	A	28-06-1994	KR 9401436 B1 DE 4212642 A1 GB 2258971 A ,B JP 2950527 B2 JP 5168030 A	23-02-1994 25-02-1993 24-02-1993 20-09-1999 02-07-1993
US 3808540	A	30-04-1974	NONE	
US 2606969	A	12-08-1952	NONE	
US 3903485	A	02-09-1975	US 3846719 A AT 303122 B AT 308832 B BE 726177 A CH 501342 A CH 500637 A CH 506215 A DE 1900639 A1 DE 1967000 A1 DE 1967001 A1 DK 140299 B DK 14577 A ,B, DK 14677 A ,B, FR 1600207 A GB 1253031 A JP 51008284 B JP 51008767 B JP 51008768 B JP 53001602 B NL 6900209 A ,B, NL 7905170 A ,B, NL 7905171 A ,B, NO 126505 B NO 128842 B NO 129175 B SE 350379 B SE 367106 B SE 366623 B US 3972010 A	05-11-1974 10-11-1972 15-06-1973 29-05-1969 31-12-1970 15-12-1970 15-04-1971 31-07-1969 05-02-1976 29-01-1976 23-07-1979 14-01-1977 14-01-1977 20-07-1970 10-11-1971 16-03-1976 19-03-1976 19-03-1976 20-01-1978 14-07-1969 30-11-1979 30-11-1979 12-02-1973 14-01-1974 04-03-1974 23-10-1972 13-05-1974 29-04-1974 27-07-1976
US 5276739	A	04-01-1994	NO 894806 A AT 111670 T AU 654266 B2 AU 6880591 A CA 2069737 A1 DE 69012582 D1 DE 69012582 T2 DK 502073 T3 EP 0502073 A1 ES 2060345 T3 FI 922408 A HU 63726 A2 JP 5504029 T WO 9108654 A1	31-05-1991 15-09-1994 03-11-1994 26-06-1991 31-05-1991 20-10-1994 20-04-1995 20-02-1995 09-09-1992 16-11-1994 26-05-1992 28-09-1993 24-06-1993 13-06-1991

THIS PAGE BLANK (USPTO)